

II-84 自由落下水の突入する水路における空気混入

東北大学工学部 正員 ○坂本龍雄
学生員 村上和男

アーチダムの中央から自由落下する水が、水槽内に突入する場合に、多量の空気を混入し、その浮力により、落下水流の運動量が著しく減少する二点によく知られています。このような場合の空気混入の現象を解明するため、幅3cm、長さ50cmの長方形断面のノズルから、鉛直下方に水を自由落下させ、これを幅60cmの長方形断面水路に受け、水深約1m間にかけた空気混入量、水圧下向流速について測定を行なった。自由落下水の水面突入速度は4.25m/secである。図-1は実験装置の概要を示す。

水中に空気を混入すると、その混合量に応じて、混合体の電気抵抗が増減するという理論を適用したミネソタ大学の方法により、空気の混入量を測定した。水圧の測定はビニール管と有する平板水流計に入ることにより、また下向流速の測定はピト一管を用いて行なつた。

図-3は空気混入量、図-4は圧力、図-5は水温 49.7°C プロファイルであり、図-5は噴流中心線上の流速分布である。

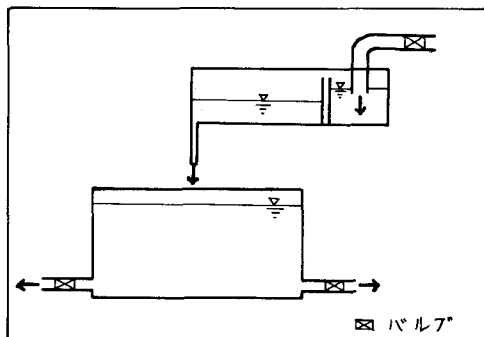


図-1 実験装置

実験結果の考察

自由落下水による空気の混入は、落下水の表面上に付着して、空気と水との連続を行なう。水面上にかけた著しい水の擾乱により空気が巻き込まれることなど、表面から水が水中にさり、負圧が生ずる場合には、それが下層水面から空気を吸い入れ、水中にかけた気泡の存在が可能になる。

以下アルバートソンによる噴流の流速を

$$U = U_{\infty} \exp \left\{ -y/(20^2) \right\} \quad (1)$$

で表す。噴流中にかけた剪断力は

$$\tau = \rho l^2 (du/dy)^2 \quad (2)$$

であるから、 τ_{max} の位置は $y = 0$ である。したがって $y = 0$ の直ぐ外側の運動量の増加は $y = 0$ の直ぐ外側の剪断力は

$$\frac{d}{dy} \int_0^y \rho U^2 dy = \rho l^2 \left(\frac{du}{dy} \right)_{y=0}^2 \quad (3)$$

計算の結果 $-0.3675 U_{\infty}^2 \frac{dy}{dx} + 0.139 \rho \frac{dU^2}{dx} + 0.5074 U_{\infty}^2 \frac{dy}{dx} = 0.3679 U_{\infty}^2 \frac{l^2}{x^2}$ である。したがって $U_{\infty}^2 = 2.65 C^2 x^3$ である。したがってアルバートソンの実験結果は $C = 0.9$ である。

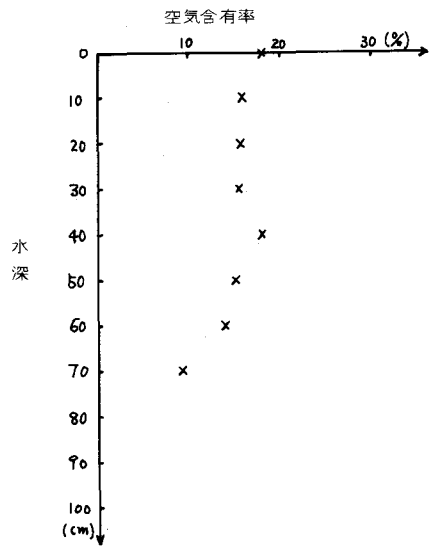


図-3 空気混入量

$C_1 = \frac{B}{x} = 0.1335$ とし 2. 一方 アルバートソンは 噴流
中心の速度測定の結果によるとニニヤルコアの長さと 噴
流の出射点における幅とを関係づけ $\alpha_1 = 0.109$ を得て 113.

さて 噴流の水平断面における流量の増加は 噴流の外側
から流量の供給に等しい。いま ポテンシヤルコアの存在
する範囲は $x < x_0$ であるが、幅 δx の間にコアから出る
流量は 図-6 によると $(U_0 B_0 / x_0) \delta x$ であり外側ににおける
流量の増加は $(\frac{\partial}{\partial x} \int u dy) \delta x$ である。従って 噴流の外側
から供給される流量は $(\frac{\partial}{\partial x} \int u dy - \frac{U_0 B_0}{x_0}) \delta x$ である。
一方 実験によると噴流の外側から供給される流量は $U \delta x$ である
 $U = \sqrt{2gh}$ とすれば これは噴流の外側無限遠の位置に
における水面標高と 噴流の内部における圧力水頭との差である。

3. 両方の流量が等しく

$$\frac{\partial}{\partial x} \int u dy - \frac{U_0 B_0}{x_0} \leq \sqrt{2gh} \quad (4)$$

の場合には 空気混入の係数は反り
が $= 9$ 式の右辺が 左辺より小さ
い場合には 容易に空気が侵入し 壓
力水頭の減少が 気泡の存在によって
保持される。

アルバートソンによれば

$$B_0/x_0 = C_1 \sqrt{\pi} \quad 2 \text{ であるから}$$

(4) は次のようになる

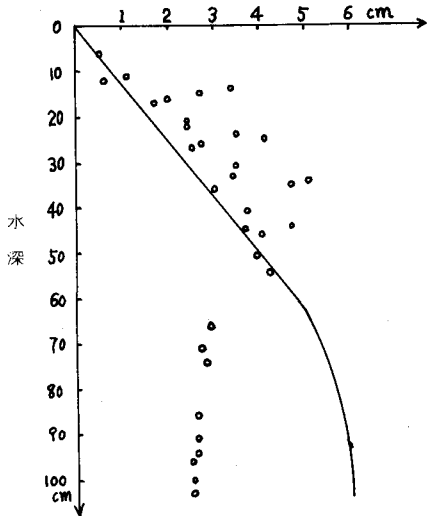


図-4 圧力水頭の減少

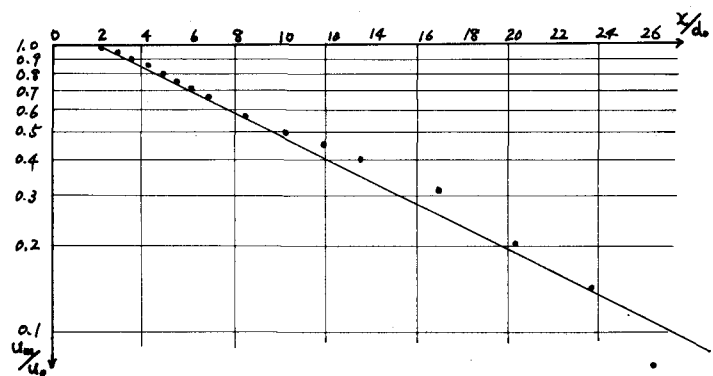


図-5 中心軸上の流速分布

$$\frac{\sqrt{\pi}}{2} \alpha \frac{dU_m}{dx} + \frac{\sqrt{2\pi}}{2} \frac{du}{dx} U_m - \frac{\sqrt{\pi}}{2} C_1 U_m \leq \sqrt{2gh} \quad (5)$$

コアが存在する位置における $\frac{du}{dx} = 0$ $U_m = U_0 = 4.25 \text{ m/sec}$

よって $\frac{du}{dx} = C_1$ の値とし 前出の値の平均を用い $C_1 = 0.12$

すれば (5) から $h \geq 0.17 \text{ m}$ となる。しかし コアの存在する位置
までの $x > x_0$ における U_0 の逆算第一項が残り 第3項が消える。

図-5 の実験値を用い

$$U_m = U_0 \exp \left\{ -\frac{1}{2} \left(\frac{x}{x_0} - 2 \right) \right\}$$

とすれば $x = x_0$ の位置における $h \geq 2.04 \text{ m/sec}$ となる。

$x < x_0$ の範囲における 壓力水頭の減少が僅か 0.17 m とすると $x = x_0$ の場合 2.04 m
となる。したがって $x = x_0$ の位置における $U_0 = 6 \text{ cm/sec}$ である。 x_0 における 壓力水頭の減少が 2 m とすると $x = x_0$ の位置における $U_0 = 2 \text{ cm/sec}$ に相当する水の体積が 空気で置換されており 混合気泡の体積が全体積の 33% センチ² 程度である。図-4 の曲線は 図-3 の測定値をもとに求めたものである。

参考文献 M. L. Albertson et al Diffusion of Submerged Jets

Trans. ASCE Vol. 115 1950

